

東京工業大学 学生員 ○ 亀井 健史
 フ 正員 中瀬 明男
 フ 学生員 竹村 次朗

1.はじめに

筆者らは、中間土の諸特性の検討の一部として強度特性に及ぼす応力異方性の影響に関する実験を行っている。ここでは間げき水圧係数及びダイレイタンシー特性についての比較検討結果を報告する。

2. 試料及び実験方法

試料は川崎粘土及び川崎粘土に豊浦標準砂と碎砂を混合した計3種類の土である。¹⁾また試料は、その塑性指数に応じてそれをM30, M20, M10と呼ぶことにする。供試体は直径50mm, 高さ120mmである。

三軸試験機は、ルブリケーションを施しておりK_o圧密には側方変位検出による自動K_o圧密装置を用いた。せん断試験のタイプは、a)等方圧密非排水圧縮試験(CIUC), b)K_o圧密非排水圧縮試験(CK_oUC), c)等方圧密非排水伸張試験(CIUE), d)K_o圧密非排水伸張試験(CK_oUE)の計4種類である。せん断過程は側圧一定のひずみ制御で行い、圧縮試験では軸圧増加、伸張試験では軸圧減少を行い、ひずみ速度は全試験とも初期高さに対して約0.07%/minである。また得られた実験結果は非常に再現性がよかつた。以下に示した図はすべて同圧密圧力による比較を行ったものである。

3. 実験結果及び考察

i) 間げき水圧係数Aについて

圧縮過程においては $A = \Delta u / (q - q_0)$, 伸張過程においては $A = 1 - \Delta u / (q - q_0)$ により Aを求めた。ここで q は主応力差であり q₀ は初期値である。図-1, 図-2より I_p の減少に従って A_{max} が大きくなり CIUE, CK_oUC の M10 が特に大きい値を示している。その時の軸ひずみ E_a は、CIUC で M20 と M30 が 10~12%, M10 が 5% であること除けばすべてにおいて 2~3% で生じている。また一般に M10 はピーク後の A の低下が著しい。次に図-3より各試験条件における A_f 値の相違が I_p の減少に従って大きくなり、圧縮試験では減少し伸張試験では逆に増加する。また全試験全試験条件に対して等方条件から条件より大きい A_f 値を示している。

ii) ダイレイタンシー: d^{2344} について

非排水せん断をうける飽和粘性土に発生する間げき水圧は、 $\Delta u = \Delta \sigma_m + d/C$ で表わされる。ここで $\Delta \sigma_m$ は平均主応力の増分であり、d は体積減少率で表したダイレイタンシーであり、C は体積圧縮率であり本実験のように供試体の平均有効主応力の増分が減少する場合は膨潤指數、圧密圧力、間げき比により求めらるる定数である。図-4より CIU 試験では、M20 と M30 は圧縮過程が伸張過程よりもダイレイタンシーが大きく M10 のみ逆に伸

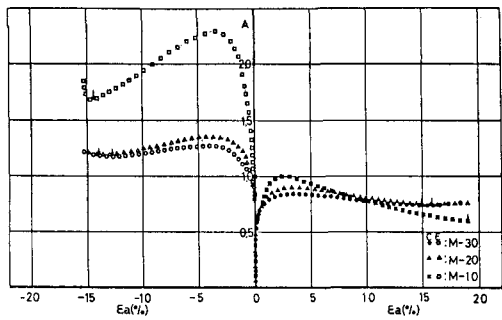


Fig-1 Relationship between A and ea in CIU tests

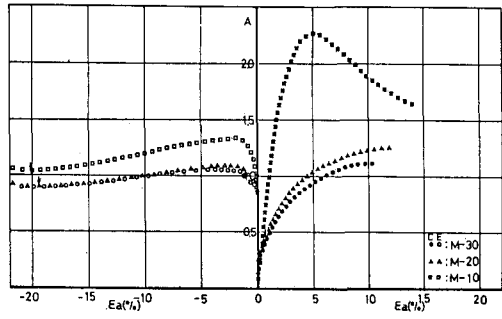


Fig-2 Relationship between A and ea in CK_oU tests

張過程が圧縮過程より大きくなる、ている。図-5よりCK_oU試験では全試料とも伸張過程が圧縮過程よりダイレイタンシーが大きくなる、ている。また図-4、図-5とともにIpの低下とともに明確にダイレイタンシーが小さくな、ていることが認められた。これは体積減少方向を正にして、いるため除々に砂質土的性質を示す傾向を表して、いる。

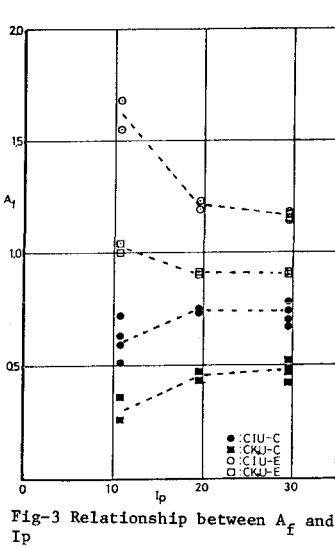


Fig-3 Relationship between A_f and I_p

除いては $E_a = 4 \sim 6\%$ のところで生じて、いる。次に図-6、7は、d - σ_{oct}/σ_m の関係を示したものである。これはユニークな関係が中間土に対しても適用できるかどうかを検討を行つたものである。図-6より直線部分の勾配は伸張過程が圧縮過程より大きいことが全試料についていえる。またIpの低下にともな、て勾配が小さくなる傾向が確認された。図-7よりCK_oUC試験ではIpによらず一定の勾配を持、たユニークな関係が認められるが、CK_oUE試験においてはIpの変化にともな、て他の試験条件より勾配が小さくIpによる差が大きい傾向にある。

4. 結論

1)ダイレイタンシードの値とその変化状況はIpによ、て変化する。

参考文献

- 1) 中瀬・龜井・竹村(1981): 第16回国土壤工学研究発表会
- 2) 軽部・栗原(1966): 土木学会論文集, No135, pp16~24
- 3) 軽部・原田(1967): 土木学会論文集, No147, pp 1~9
- 4) 紫田・軽部(1965): 6th Int, Conf, SMFE, Vol 1, pp359~363
- 5) Parry,R.H.G , Nadarajah,V.(1973) : Geotechnique 24 , No 3 pp345~358
- 6) 小林他(1978): 第13回国土壤工学研究発表会
- 7) 三田地・北郷(1979): S & F Vol 19 No 2 pp45~60

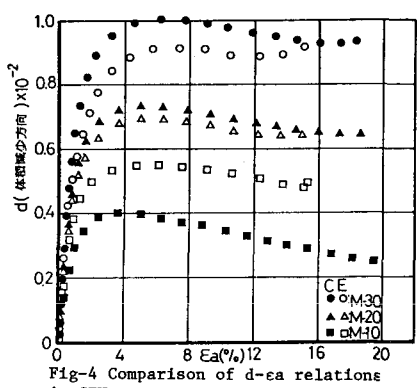


Fig-4 Comparison of d - σ_{oct}/σ_m relations in CIU tests

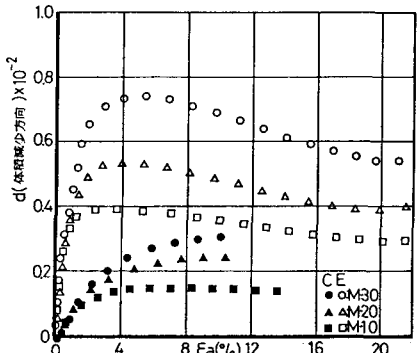


Fig-5 Comparison of d - σ_{oct}/σ_m relations in CK_oU tests

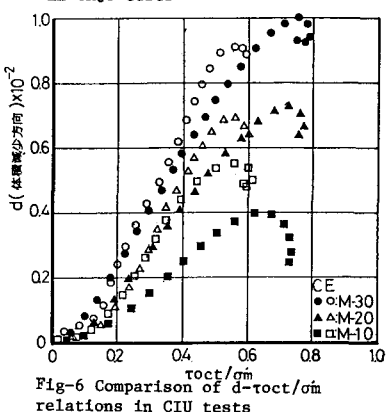


Fig-6 Comparison of d - σ_{oct}/σ_m relations in CIU tests

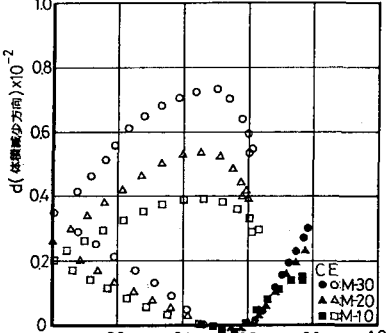


Fig-7 Comparison of d - σ_{oct}/σ_m relations in CK_oU tests